

На фиг. 8, а – 10, а показаны распределения давлений  $p$ ,  $p_\mu$  и скоростей  $v$  по координате  $x$  в моменты времени  $\tau = 1,23; 2,46; 4,30; 6,15; 13,5; 16,5; 19,6$  (кривые 1–7), а на фиг. 8, б – 10, б – изменения этих параметров во времени в точках  $r = -0,286; -0,174; -0,057; 0; 0,143; 0,286; 0,429$ . Давления  $p_\mu$  на фиг. 9 появляются при пересечении частицы газа с поверхностью грунта. Светлые точки на фиг. 10, а соответствуют верхней границе жидкой зоны.

Из фигур видно, что в результате торможения газовых частиц и отражения от жидкой прослойки движение газа в верхней части порового пространства носит колебательный характер при резком уменьшении сопротивления фильтрации и градиента  $p_\mu'$ . Это вызывает увеличение влияния сил инерции в жидкой зоне, причем ускорения жидких частиц (достигающие 70 (единиц  $g$ )) почти полностью компенсируются градиентом давлений  $p'$ . При  $\tau > 6,2$  скорость фильтрации жидкости и сопротивление  $p_\mu$  возрастают.

## ЛИТЕРАТУРА

1. Лейбензон Л. С. Подземная гидрогазодинамика. Собр. тр. Т. 2. М.: Изд-во АН СССР, 1953. 544 с.
2. Требин Г. Ф. Фильтрация жидкостей и газов в пористых средах. М.: Гостоптехиздат, 1959. 157 с.
3. Баренблатт Г. И., Ентов В. М., Рыжик В. М. Теория нестационарной фильтрации жидкости и газа. М.: Недра, 1972. 286 с.
4. Николаевский В. Н., Басниев К. С., Горбунов А. Т., Зотов Г. А. Механика насыщенных пористых сред. М.: Недра, 1970. 335 с.
5. Каракин А. В., Лобковский Л. И. Механика пористой двухфазной вязкодеформируемой среды и некоторые геофизические приложения.– Изв. АН СССР, МЖГ, 1979, № 6, с. 53–63.
6. Адушкин В. В., Каазик П. Б. Расчет выхода газообразных продуктов подземного взрыва в атмосферу.– ПМТФ, 1976, № 1, с. 111–120.
7. Седов Л. И. Методы подобия и размерности в механике. М.: Наука, 1967. 528 с.
8. Коробейников В. П., Чушкин П. И., Шароватова К. В. Газодинамические функции точечного взрыва. М.: ВЦ АН СССР, 1969. 48 с.
9. Рихтмайер Р., Мортон К. Разностные методы решения краевых задач. М.: Мир, 1972. 418 с.
10. Dupuit J. Mémoire sur le mouvement de l'eau à travers les terrains régressables. Paris, 1857.
11. Бэр Я., Заславски Д., Ирмей С. Физико-математические основы фильтрации воды. М.: Мир, 1971. 452 с.
12. Фабрикант Н. Я. Аэродинамика. М.: Наука, 1964. 814 с.
13. Гинзбург И. П. Теория сопротивления и теплопередачи. Л.: Изд-во ЛГУ, 1970. 375 с.
14. Дейли Д., Харлеман Д. Механика жидкости. М.: Энергия, 1971. 480 с.
15. Котляревский В. А., Румянцева Р. А., Шишикин А. И. Волны в мягком грунте как упруговязкой среде.– Физика горения и взрыва, 1977, № 2, с. 229–238.
16. Котляревский В. А., Майорова Е. Г., Шишикин А. И. Волны напряжений в грунтах при наличии кавитационных эффектов.– ПМТФ, 1978, № 2, с. 95–104.
17. Коробейников В. П., Чушкин П. И., Шароватова К. В. Таблицы газодинамических функций начальной стадии точечного взрыва. М.: ВЦ АН СССР, 1963. 59 с.

Москва

Поступила в редакцию  
24.II.1981

УДК 539.3

## ОБ УПРУГОПЛАСТИЧЕСКОМ ИЗГИБЕ БАЛОК В ПРОЦЕССЕ ДВИЖЕНИЯ

БРОВМАН М. Я.

Решению задач об упругопластическом изгибе балок посвящено большое число работ, часть результатов и соответствующие ссылки можно найти, например, в [1–3].

В практических задачах часто рассматривают изгиб балки, совершающей в процессе деформации движение вдоль своей оси при постоянных внешних нагрузках. Такие процессы деформации применяют при правке и вальцовке заготовок в роликовых машинах.

В публикуемой работе рассмотрена задача об упругопластическом изгибе балок, совершающих поступательное движение вдоль своей оси. Принимаются условия линейного распределения деформации по толщине балки и модель идеальной упругопластической среды. Приводятся результаты экспериментального исследования.

1. В процессе движения балки, нагруженной постоянными силами, каждый ее

участок последовательно проходит упругую зону, зоны упругопластической деформации и разгрузки. Например, при нагрузке, согласно фиг. 1, пластическая деформация начнется в зоне слева от сечения, где действует сила  $P$ . Но справа от этого сечения в отличие от деформаций неподвижной балки пластическая деформация отсутствует и реализуется только разгрузка ввиду уменьшения изгибающего момента. В зоне упругой деформации имеет место закон Гука, а в зонах разгрузки напряжения равны:

при разгрузке после пластической деформации растяжения

$$\sigma = \sigma_T + E y (d^2 u / dx^2 - r_1) \quad (1.1)$$

при разгрузке после пластической деформации сжатия

$$\sigma = -\sigma_T + E y (d^2 u / dx^2 - r_1) \quad (1.2)$$

Здесь  $y$  — расстояние от нейтральной оси для балки прямоугольного сечения размерами  $b \times h$ ,  $u(x)$  — прогиб,  $l$  — расстояние между опорами,  $r_1$  — кривизна в середине длины балки; где изгибающий момент  $M$  достигает максимума (график для  $M$  показан на фиг. 1),  $\sigma_T E$  — предел текучести и модуль упругости материала балки. В зонах пластической деформации  $\sigma = \pm \sigma_T$ .

Отсутствие симметрии расположения зоны пластической деформации относительно сечения  $x=0.5l$ , в котором приложена сила  $P$ , приводит к нарушению симметрии функции  $u(x)$ . В расчете не учитывается влияние касательных напряжений, что допустимо для длинных балок [1, 2]. Задача сводится к решению обыкновенных дифференциальных уравнений для функций  $u(x)$  с учетом последовательного прохождения каждым участком балки зон упругой, упругопластической деформации и разгрузки.

Принимаем, что деформации и производные функции  $u(x)$  всюду являются малыми.

2. Рассматривая приведенную на фиг. 1 схему нагружения балки постоянной сосредоточенной силой, примем начало координат в точке  $A$  (балка перемещается от  $A$  к  $B$ ). Следуя [1, 2], исходные уравнения задачи упругопластического изгиба запишем в виде:

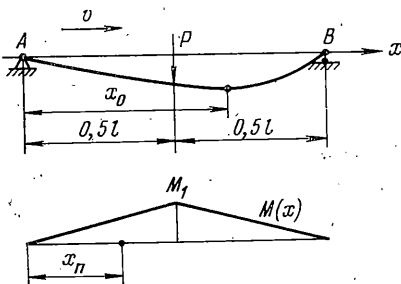
$$\begin{aligned} d^2 u / dx^2 &= -24amx/l^2, \quad a = \sigma_T l/Eh, \quad m = Pl/4\sigma_T b h^2 \quad (0 \leq x < x_n) \\ \frac{d^2 u}{dx^2} &= -\frac{2a}{l\sqrt{3}\sqrt{1-8mx/l}}, \quad x_n = \frac{l}{12m} \quad (x_n \leq x < 0.5l) \\ \frac{d^2 u}{dx^2} &= -\frac{2a}{l\sqrt{3}\sqrt{1-4m}} + 12am \left( 2\frac{x}{l} - 1 \right) \quad (0.5l \leq x \leq l) \end{aligned} \quad (2.1)$$

Первое из уравнений (2.1) описывает прогиб в зоне упругой деформации, второе — в зоне пластической деформации, а третье — в зоне разгрузки, где изгибающий момент уменьшается. Интегрирование уравнений (2.1) с учетом непрерывности функций  $u(x)$  и  $du/dx$  в сечениях  $x=x_n$  и  $x=0.5l$  и краевых условий  $u(0)=u(l)=0$  приводит к зависимостям

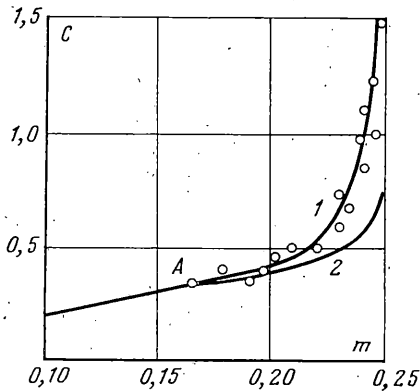
$$\begin{aligned} u(x) &= -al \left[ \left( C + m - \frac{1}{4m} - \frac{1}{2\sqrt{3}\sqrt{1-4m}} + \frac{\sqrt{1-4m}}{2m\sqrt{3}} \right) \frac{x}{l} + \frac{4mx^3}{l^3} \right] \quad (0 \leq x < x_n) \\ u(x) &= -al \left[ -\frac{5}{216m^2} + \left( C + m - \frac{1}{2\sqrt{3}\sqrt{1-4m}} + \frac{\sqrt{1-4m}}{2m\sqrt{3}} \right) \frac{x}{l} + \right. \\ &\quad \left. + \frac{1}{24m^2\sqrt{3}} \left( 1 - 8m \frac{x}{l} \right)^{\frac{3}{2}} \right] \quad (x_n \leq x < 0.5l) \end{aligned} \quad (2.2)$$

$$\begin{aligned} u(x) &= al \left[ C - \frac{1}{2\sqrt{3}\sqrt{1-4m}} - \left( C - 2m - \frac{3}{2\sqrt{3}\sqrt{1-4m}} \right) \frac{x}{l} - \right. \\ &\quad \left. - \left( \frac{1}{\sqrt{3}\sqrt{1-4m}} + 6m \right) \frac{x^2}{l^2} + 4m \frac{x^3}{l^3} \right] \quad (0.5l \leq x \leq l) \end{aligned}$$

$$C = \frac{5}{216m^2} - \frac{m}{2} + \frac{1}{4\sqrt{3}\sqrt{1-4m}} - \frac{\sqrt{1-4m}}{4m\sqrt{3}} - \frac{(1-4m)^{\frac{3}{2}}}{24m^2\sqrt{3}} \quad (2.3)$$



Фиг. 1



Фиг. 2

Прогиб в сечении  $x=0.5l$ , в котором приложена сила  $P$ , равен  $u_1=0.5alC$ . Для неподвижной балки прогиб в этом сечении будет равен

$$v_1=0.5alC_1, \quad C_1=\frac{5}{108m^2}-\frac{\sqrt{1-4m}}{2m\sqrt{3}}-\frac{(1-4m)^{\frac{3}{2}}}{12m^2\sqrt{3}} \quad (2.4)$$

Графики функций  $C(m)$ ,  $C_1(m)$  приведены на фиг. 2, где кривая 1 —  $C(m)$ , 2 —  $C_1(m)$ . Точка  $A(m=\frac{1}{6})$  определяет границу упругой деформации.

Сравнение величин прогибов подвижной и неподвижной балок показывает, что при  $m \geq 0.23$  расхождение превышает 12% и быстро увеличивается с возрастанием  $m$ . С приближением силы к предельной величине  $m=0.25$  коэффициент  $C(m)$  неограниченно возрастает, в то время как  $C_1(0.25)=0.74$ .

Движение балки в процессе изгиба не только увеличивает прогиб, но и качественно изменяет распределение деформации по ее длине. Сечение  $x_0$ , в котором прогиб достигает максимума и  $du/dx=0$ , смещается в направлении движения балки и не совпадает с сечением  $x=0.5l$ , где приложена сила (см. фиг. 3). Имеет место условие  $x_0 \geq 0.5l$ , причем знак равенства только при упругой деформации ( $m=\frac{1}{6}$ ), когда движение балки не изменяет ее прогиба.

При упругопластической деформации функция  $u(x)$  несимметрична относительно сечения  $x=0.5l$ , хотя реакции опор равны и эпюра изгибающих моментов симметрична.

Практическое значение имеет определение остаточной кривизны балки  $r_0$ , после выхода ее из роликов

$$r_0=\frac{d^2u}{dx^2}(l)=\frac{2a}{l}\left(-\frac{1}{\sqrt{3}\sqrt{1-4m}}+6m\right) \quad (2.5)$$

На фиг. 4 показано изменение величины  $R_0=-\frac{1}{2}r_0l/a$  в зависимости от усилия (фиг. 4, а) и от прогиба в середине длины балки  $u_1$  (фиг. 4, б).

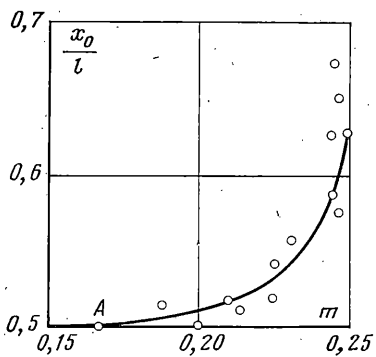
Из (2.5) следует, что при  $m=\frac{1}{6}$  кривизна  $r_0=0$ . (На фиг. 3, 4 точка  $A$  показывает границу зоны упругой деформации.) При  $m>0.22$  зависимость  $r_0(C)$  можно описать простой формулой  $R_0=-4(C-2)$  или  $R_0=-\frac{1}{2}(a/4u_1/l-a)$ .

3. В большинстве правильных машин балку перемещают через ролики, подвергая ее знакопеременному изгибу, как показано на фиг. 5. Здесь же приведена эпюра изгибающих моментов  $M(x)$ . На участке длиной  $l$  между сечениями, в которых действуют силы  $P_n$ ,  $P_{n+1}$  и изгибающие моменты  $m_n=M_n/(\sigma_t b h^2)$ ,  $m_{n+1}=M_{n+1}/(\sigma_t b h^2)$ , приняв начало координат для данного пролета в точке  $A$  (фиг. 5), запишем уравнение изгибающих моментов:  $m(x)=m_n+(m_{n+1}-m_n)x/t$ .

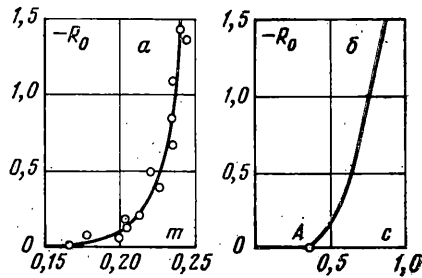
Из условий равновесия для балки, нагруженной системой из  $k$  сил (фиг. 5), получим

$$M_n=\frac{nl}{k+1} \sum_{s=1}^k P_s (-1)^{s-1} (k-s+1) - l \sum_{s=1}^n P_s (-1)^{s-1} (n-s) \quad (3.1)$$

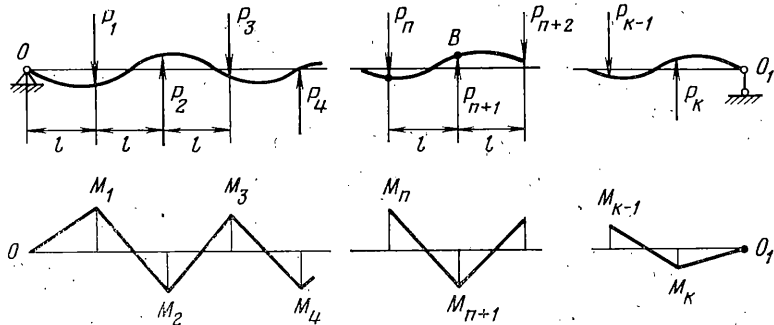
Наибольшую деформацию создают на первом изгибающем ролике (где действует сила  $P_1$ ), а затем плавно уменьшают ее при каждом перегибе. Поэтому размер зоны упругой деформации определяется кривизной  $r_1=-2a/[l(3-12m_1)^{\frac{1}{2}}]$ . По всей длине балки упругая деформация имеет место при  $0 \leq |y| < y_1$ , где  $y_1=\sigma_t/E r_1$  — расстояние от нейтральной оси до границы зоны упругой деформации. При  $y_1 \leq y < y_2$  находится



Фиг. 3



Фиг. 4



Фиг. 5

зона разгрузки, где имеет место зависимость (1.1).  $y_2 = 2\sigma_T/[E(r_2 - r_1)]$ . При  $y_2 \leq y < y_3$  происходит разгрузка, описываемая формулой (1.2)  $y_3 = 2\sigma_T/[E(r_2 - r_3)]$ . Аналогично

$$y_n = 2\sigma_T/[E(r_{n-1} - r_n)] \quad (3.2)$$

(Величины  $m_1, m_3, m_5, \dots$  и  $r_2, r_4, r_6, \dots$  положительны, а  $m_2, m_4, \dots$  и  $r_1, r_3, r_5, \dots$  отрицательны.)

Вблизи точки  $A$  в зонах разгрузки имеют место формулы (1.1) или (1.2) по всей толщине балки, а границы участков определяются выражениями (3.2).

В зоне разгрузки получаем уравнение

$$\frac{d^2u}{dx^2} = r_n + \frac{12a}{l} (m_{n+1} - m_n) \frac{x}{l}, \quad r_n = \frac{d^2u}{dx^2}(0) \quad (3.3)$$

где  $r_n$  — кривизна в сечении, определяемом точкой  $A$ , в котором действует сила  $P_n$ . На расстоянии  $x_n$  от точки  $A$  начинается зона пластической деформации (обратная по знаку деформации вблизи сечения  $x=0$ ):

$$x_n = 1/3l(-1)^n / (m_{n+1} - m_n) \quad (3.4)$$

В зоне пластической деформации уравнение для прогиба имеет вид

$$\frac{d^2u}{dx^2} = r_n - \frac{4a(-1)^n}{l\sqrt{3}\sqrt{1+2(-1)^{n-1}(m_{n+1}-m_n)x/l}} \quad (3.5)$$

Уравнения (3.3) и (3.5) применимы, если все величины  $y_n$  не убывают с увеличением  $n$ . Поскольку  $r_{n-1}$  и  $r_n$  при любом  $n$  имеют различные знаки, то увеличение  $y_n$  имеет место, если абсолютные величины кривизны не увеличиваются, т. е.  $|r_{n+1}| \leq |r_n|$ , что на практике выполняется.

Уравнение (3.5) можно применять, если выполнено условие  $x_n \leq l$ . Это выполняется и в практических важных случаях, поскольку изгиб только при упругой деформации не изменяет её остаточную кривизну.

Только в последнем пролете от силы  $P_k$  до опоры в точке  $O_1$  (фиг. 5) по всей длине имеет место уравнение (3.3). Для участка длиной  $l$  от силы  $P_n$  до силы  $P_{n+1}$

краевые условия в точках  $A$  и  $B$  имеют вид

$$\begin{aligned} \frac{d^2u}{dx^2}(0) &= r_n, & \frac{du}{dx}(0) &= \theta_n, & u(0) &= u_n \\ \frac{d^2u}{dx^2}(l) &= r_{n+1}, & \frac{du}{dx}(l) &= \theta_{n+1}, & u(l) &= u_{n+1} \end{aligned} \quad (3.6)$$

Интегрирование уравнений (3.3) и (3.5) при условиях (3.6) приводит к рекуррентным соотношениям (при  $n > 1$ ):

$$\begin{aligned} r_{n+1} &= r_n + a/(l\psi_n), & \theta_{n+1} &= \theta_n + r_nl + a\varphi_n \\ u_{n+1} &= u_n + \theta_n l + 0.5r_nl^2 + af_n \end{aligned} \quad (3.7)$$

$$\psi_n = \frac{4(-1)^n}{\sqrt[3]{1+2(-1)^{n-1}(m_{n+1}-m_n)}},$$

$$\varphi_n = \frac{2}{m_{n+1}-m_n} \left[ 1 - \frac{2}{\sqrt[3]{1+2(-1)^{n-1}(m_{n+1}-m_n)}} \right] \quad (3.8)$$

$$f_n = \frac{2}{m_{n+1}-m_n} \left\{ 1 - \frac{10(-1)^n}{27(m_{n+1}-m_n)} + \frac{2(-1)^n}{3\sqrt[3]{(m_{n+1}-m_n)}} [1+2(-1)^{n-1}(m_{n+1}-m_n)^{\frac{1}{2}}] \right\}$$

Условие равенства нулю прогиба на левой опоре в точке  $O$  (фиг. 5) определяет

$$\theta_1 = \frac{u_1}{l} + a\varphi_0(m), \quad \varphi_0(m) = \frac{5}{54m_1^2} - \frac{\sqrt[3]{1-4m_1}}{3m_1} - \frac{(1-4m_1)^{\frac{1}{2}}}{6\sqrt[3]{m_1^2}} \quad (3.9)$$

Из соотношений (3.8) находим прогиб  $u_n$  в сечении, где действует сила  $P_n$ :

$$u_n = - \left\{ nu_1 + (n-1)al\varphi_0 + \frac{al(n-1)^2}{\sqrt[3]{1-4m_1}} + al \sum_{s=1}^{n-1} \left[ f_s + (n-s-1)\varphi_s + \frac{1}{2}(n-1-s)^2\psi_s \right] \right\} \quad (3.10)$$

Равенство нулю прогиба на правой опоре балки (в точке  $O_1$ ) имеет вид  $u_k + \theta_k l + 1/2r_k l^2 - 2alm_k = 0$ , откуда с применением (3.8) и (3.10) получим

$$u_1 = - \frac{al}{k+1} \left\{ 2m_k - \varphi_0 k - \frac{k^2}{\sqrt[3]{1-4m_1}} - \sum_{s=1}^{n-1} [f_s + (k-s)\varphi_s + \frac{1}{2}(k-s)^2\psi_s] \right\}$$

Выражения (3.10) и (3.11) определяют прогибы во всех сечениях, где действуют силы  $P_n$ .

Остаточная кривизна балки после прохождения через систему  $(k+2)$  роликов (при этом имеют место две опорные реакции и  $k$  внешних сил) равна

$$r_0 = - \frac{2a}{l\sqrt[3]{1-4m_1}} \left[ \frac{1}{\sqrt[3]{1-4m_1}} + 2 \sum_{s=1}^{k-1} \frac{(-1)^s}{\sqrt[3]{1+2(-1)^{s-1}(m_{s+1}-m_s)}} \right] + \frac{12am_k}{l} \quad (3.12)$$

Условие  $r_0 = 0$  определяет поверхность в пространстве с координатами  $m_1, m_2, \dots, m_k$ . Настройку правильной магнитной можно производить по величинам усилий, измеряемых месседозами, или по величинам прогибов:  $u_1, u_2, \dots, u_k$ .

Расчеты на ЭЦВМ по уравнениям (3.10), (3.11) с учетом (3.12) при  $h = 6 \dots 20$  мм показывают, что эффективная правка может быть осуществлена при  $k = 5 \dots 7$ , а при  $h = 2 \dots 6$  мм значение  $k = 9 \dots 11$ .

4. Экспериментальное исследование проводилось при изгибе балок толщиной  $1 \dots 8$  мм по схеме фиг. 4 для следующих материалов: Ст. 3СП ( $\sigma_t = 310$  МПа,  $E = 2.1 \cdot 10^5$  МПа), 12ХНЗА ( $\sigma_t = 740$  МПа,  $E = 2.1 \cdot 10^5$  МПа), медь М1 ( $\sigma_t = 180$  МПа,  $E = 1.3 \cdot 10^5$  МПа).

Прогибы измерялись индикаторами в сечениях, расположенных через каждые 10 мм по длине балки, при общей ее длине 100 и 200 мм. Усилия на роликах измеряли месседозами с проволочными тензодатчиками [4]. После выхода балки из роликов измерялась ее остаточная кривизна. Результаты экспериментальных замеров отмечены точками на фиг. 2-4. Расхождение между экспериментальными и расчет-

ными величинами не превышает 16%, в то время как с результатами расчета прогиба неподвижной балки (кривая 2 на фиг. 2) расхождение достигает 100%.

Подтверждено смещение сечения максимального прогиба с нарушением симметрии функции  $u(x)$ . По экспериментальным данным  $x_0 = (0.50 \pm 0.68)l$ . Изменение скорости движения балки от 0.1 до 1.5 м/с не оказалось влияния на процесс изгиба.

Исследование изгиба по схеме фиг. 5 осуществлялось на новой роликовой правильной машине<sup>1</sup>. При  $k=3 \div 5$  все ролики установлены на эксцентриках, что позволяет просто регулировать прогиб балки в сечениях, где приложены силы. Расчетные данные, полученные по формулам (3.10), (3.11), отличаются от экспериментальных не более чем на 22%. Расчеты показывают, что при четных  $k$  уравнение (3.12), ( $r_0 = 0$ ) имеет только тривиальное решение  $m_s = \frac{1}{6}(-1)^{\frac{k}{2}-1}$ , соответствующее упругой деформации.

При нечетных  $k$  уравнение (3.12) имеет много решений ( $r_0 = 0$ ): например,  $m_1 = -m_2, m_3 = -m_4$  и т. д.

Указанное уравнение было применено на практике при  $k=3$  для настройки правильной машины.

Ранее настройка роликов создавала остаточную кривизну  $r_0 = (2.5 \div 3.0) \cdot 10^{-4}$  мм<sup>-1</sup>, что снижало качество выпускаемого проката. Ниже приводятся результаты расчета параметров упругопластического изгиба, обеспечивающего получение прямолинейных балок.

$n$	$m_n$	$P_nl/\sigma_Tbh^2$	$r_nl/a$	$u_n/la$
1	0,230	0,690	-4,05	1,40
2	-0,230	0,899	4,05	0,40
3	0,209	0,648	-2,55	0,60

На левой опоре величина  $P_nl/\sigma_Tbh^2$  равна 0,230, а на правой 0,209. При данном режиме изгиба балок остаточная кривизна уменьшилась в 8–10 раз и не превышает  $r_0 = 3 \cdot 10^{-5}$  мм<sup>-1</sup>, что обеспечивает получение проката первого сорта, для которого прогиб не должен превышать 2 мм на 1000 мм длины балки.

#### ЛИТЕРАТУРА

- Соколовский В. В. Теория пластичности. М.: Высшая школа, 1969. 608 с.
- Качанов Л. М. Основы теории пластичности. М.: Наука, 1969. 420 с.
- Шапиро Г. С. О предельном и упругопластическом состояниях конструкций.— Изв. АН СССР. Механика и машиностроение, 1963, № 4, с. 138–144.
- Беняковский М. А., Бровман М. Я. Применение тензометрии в прокатке. М.: Металлургия, 1965. 145 с.
- Бровман М. Я., Будников Ю. В., Аттарян В. Г., Чивадзе М. И. Повышение качества правки прямоугольных и квадратных труб.— Сталь, 1980, № 3, с. 222–225. Краматорск

Поступила в редакцию  
12.IX.1979

УДК 539.3

#### ВОЛНЫ В СЛАБО АНИЗОТРОПНЫХ СРЕДАХ

РОССИХИН Ю. А.

Рассматривается анизотропная среда, модули упругости которой мало отличаются от упругих коэффициентов некоторого изотропного материала. Эта среда носит название слабо анизотропной. В такой среде изучено поведение объемных волн, которые возникают при внезапном приложении нагрузки к границе сферической полости. При исследовании используется метод возмущений, позволяющий в первом приближении получить ряд особенностей распространения волн в кристаллах.

Рассмотрим ударные волны в упругой анизотропной среде. Уравнения для определения скоростей и интенсивностей волновых фронтов в криволинейных координатах записутся так [1]:

$$(c_{ij,l}^k v^j v^l - \rho G^2 \delta_{ij}^k) \lambda_h = 0, \quad \lambda_i = -G^{-1}[v_i] \quad (1)$$

$$\rho G^2 (W_{i,t}^i - W_{i,\alpha}^i g^{\alpha\gamma} x_{k\gamma} x_t^h) + \rho G (G_{,t} - G_{,\alpha} g^{\alpha\beta} x_{k\beta} x_t^h) W_i^i + c_{ij,l}^h (W_{h,\alpha}^i v^j x_\beta^l + \Gamma_{mn}^i W_k^m x_\alpha^n v^j x_\beta^l - \Gamma_{kn}^m W_m^i x_\alpha^n v^j x_\beta^l + v_{,\alpha}^l W_h^i x_\beta^j + \Gamma_{mn}^l W_h^i x_\beta^j v^m x_\alpha^n) g^{\alpha\beta} G = 0,$$

$$W_j^i = \lambda^i \lambda_j$$

<sup>1</sup> Машина спроектирована и изготовлена Краматорским научно-исследовательским и проектно-технологическим институтом машиностроения. Пущена в эксплуатацию на Руставском металлургическом заводе [5].